

高等学校教学用书

冶金中的电解

第三卷

Ю. B. 巴伊馬科夫著

高等教育出版社

高等学校教学用書



冶金中的电解

第三卷

(輕金屬冶煉的电能消耗問題)

I.O. B. 巴伊馬科夫著

沈时英譯



高等教育出版社

本書系根据苏联國立黑色与有色冶金科技書籍出版社(Государственное научно-техническое издательство литературы по черной и цветной металлургии)出版的Ю. В. 巴伊馬科夫(Ю. В. Баймаков)著“冶金中的电解”第三卷(Электролиз в металлургии, том III)1946年版譯出。原書經苏联有色冶金部教育司審定为高等工業学校教学参考書。

書中敘述到有关輕金屬冶炼的电能消耗問題，敘述到电能消耗与电流效率、电解液的电阻、陰極陽極各導电部件的电阻、电解槽的構造及热損失数值等因素之間的关系，并將这些資料加以整理，使之系統化。

著者曾参考很多文献及實驗資料，并尽可能地指出了怎样利用不复雜的測量方法及計算方法來調節正在工作着的电解槽及設計新的电解槽。

本書可供电解車間工程师、在这些車間工作的动力工程师、冶金和电化学各專業的高等学校高年級学生与研究生作为参考。

本書为东北工学院輕金屬冶炼教研組沈时英同志所譯。

冶金中的电解

第三卷

Ю. В. 巴伊馬科夫著

沈时英譯

高等教育出版社出版

北京琉璃廠一七〇号

(北京市書刊出版業營業許可証出字第〇五四号)

京華印書局印刷 新華書店總經售

書號15010·5 開本 850×1168 1/32 印張 4 1/16 字數 100,000

一九五六年七月北京第一版

一九五六年七月北京第一次印刷

印數 0001—4,500 定價(10) ￥0.65

序

电解槽的經濟電能消耗及高生產能力問題，乃是在輕金屬電冶的技術上與經濟上的一項最重要的問題。

在電能經濟這一方面，候補博士 Г. А. 阿布拉莫夫曾有過許多重要著作。在這些著作中闡明了電流效率與電流密度、極間距離及溫度的關係，並敘述了在熔融鹽電解上最低單位電能消耗所達到的成就。

但是，自从這些著作發表以來，熔融鹽電化學又有了許多新的成就，確定下了一些新的原則，如反電動勢與電解條件的關係，增添了一些關於在高溫下導體接觸點電阻方面的新的資料等。

在本書中，將要比前此更為廣泛地來研究一下輕金屬電解中的電能消耗問題。著者希望能夠把電能消耗與電流效率、電解液電阻、陰陽極各導電部件的電阻、電解槽構造及熱損失數值等之間關係的資料加以系統化。

雖然本書中所研究的問題主要是以電解製鋁方面的問題為例，但是，所得到的全部論點仍可適用於其他金屬的電解上。著者相信，每一個閱讀本書的人是會把那些總的結論及方法推廣到其他金屬電解上去的。書中所有計算悉以最高的，但是可以達到的電流效率值為基礎。著者認為，這樣作是十分必要的，電冶工業應該爭取達到這一點。不能夠脫离开生產能力來談降低電能消耗。因此，著者在確定電能消耗與電阻及熱損失等的關係時，經常指出生產能力這一因素。

在這本書中，著者企圖向輕金屬冶金工作者們說明：要怎樣利用不複雜的測量與計算方法來調節正在工作着的電解槽，怎樣來設計新型式的電解槽，通過什麼途徑來達到這一目的，以及怎樣求得最高的電能指標及生產指標。

本書供电解車間的工程師、設計人員、在這些車間工作的動力工程師參考，並供高等學校高年級學生、冶金研究生、電化學研究生以及電解車間的技術員及先進工人之用。

在這本書中，著者曾利用了Г. А. 阿布拉莫夫所得到的許多結論，利用了鋁工業工程師 Г. О. 赫威里威茨基(Хвилицик) 及 Я. А. 別爾施坦(Берштейн)兩位同志的丰富經驗。著者向他們表示感謝。

Ю. В. 巴伊馬科夫

1945 于列寧格勒

第三卷 目錄

序.....	v
緒論	1
第一章 电能消耗与热平衡总論	5
§ 1. 电能消耗.....	5
§ 2. 电解槽的电能消耗与热平衡.....	6
§ 3. 电流效率.....	10
§ 4. 电解过程中的反电动势.....	20
§ 5. 理論上的最低电能消耗.....	24
第二章 电解槽各導电部件的电阻	28
§ 1. 电解槽的电压平衡.....	28
§ 2. 量取电压平衡.....	31
§ 3. 導体内的电压损失.....	32
§ 4. 減少接触点的数目.....	33
第三章 接触点的質量及其性質	35
§ 1. 接触点的理論.....	35
§ 2. 接触点的电阻.....	40
§ 3. 金屬接触点在高温时的行为.....	42
第四章 电解液的电阻与陽極效应	54
§ 1. 总論	54
§ 2. 固相或气相对电解液电阻的影响.....	56
§ 3. 电解液的电阻与附膜的电阻的測量.....	57
§ 4. 陽極效应对电解槽系列操作制度的影响	59
第五章 电解时的热平衡	67
§ 1. 电解槽热平衡的制定	67
§ 2. 电解槽热平衡的分析	73
§ 3. 發热电阻	74
§ 4. 电解液的体積与热慣性	75
§ 5. 热損失	76

第六章 电解槽操作的分析	81
第七章 电解槽的構造、热制度与生產能力	87
§ 1. 陽極型式的影响	87
§ 2. 电解槽尺寸对其指标的影响	90
§ 3. 电解槽構造对其指标的影响	92
§ 4. 發熱电阻与外电阻的影响	96
第八章 从最低电能消耗的觀点來決定电解槽的操作条件	100
§ 1. 最低电能消耗問題	100
§ 2. 电解槽最好操作条件的探討	100
§ 3. 电解槽的操作指标与陽極到槽帮的距离	103
§ 4. 以最低电能消耗進行工作的电解槽	104
§ 5. 电解槽操作指标与热损失程度的关系	108
§ 6. 由分析电能消耗所得到的結論	109
第九章 經濟电流密度的选择	111
§ 1. 总論	111
§ 2. 成本核算	111
§ 3. 制鋁的經濟电流密度方程式的誘導	113
§ 4. 各被加項之數值及經濟电流密度的計算	116
結 語	122

緒論

輕金屬（鋁，鎂等）的生產現今已經達到了十分巨大的規模。如果1938年世界鋁產量為517000噸（不包括蘇聯），那末，1943年僅以美國與加拿大來看，即已達1250000噸。鎂的產量，在美國年產達數十萬噸之多，而在这前五六年，却尚不足10000噸。

實際上，所有各種輕金屬的生產都是得自熔融鹽電解，而熔融鹽電解這種方法，乃是一個需要消耗大量電能的一種方法。比如說，一噸鋁（或鎂）要消耗近25000安時的交流電能。

這樣大的電能消耗乃是由於：第一，熔融鹽的分析過程須要在高溫下進行；第二，各種輕金屬的析出電化當量甚小（表1），而其鹽類的分解電壓却甚高；第三，制取輕金屬所用的電解槽生產能力低。

表1. 某些輕金屬的析出電化當量

金屬	原子量	一安時所析出的克數	分解電壓，伏特	所分解的化合物	溫度，℃
鋁	26.97	0.3354	2.13	Al_2O_3	960
鋁	9.02	0.1682	2.24	BeO	1300
鈣	40.07	0.7472	3.20	CaCl_2	810
鈦	140.20	1.7420	2.83	CeCl_3	700
鉀	39.10	1.4587	3.58	KCl	700
鋰	6.94	0.2588	3.41	LiCl	710
鎂	24.32	0.4539	2.51	MgCl_2	720
鈉	23.00	0.8582	3.35	NaCl	670

比如，近代熔融鹽電解槽，其電流強度由30000到60000安培；雖然如此，但每一個50000安培的電解槽，每晝夜也只能生產360公斤的金屬^①。因此，如求年產金屬為50000噸，則必須串聯電解槽400個。

① 譯者注：此处系指制鋁而言。

这时电路上各处(接触点, 电解槽的母線与陽極)的电压损失就要重复几百次, 因而最終造成很大的电能消耗。

Г. А. 阿布拉莫夫最先提出了电解氧化鋁时的最低电能消耗問題^①, 他根据 P. 罗林茨的材料及自己所進行的觀察, 对电流效率与电流密度及極間距离的关系給予一个数学方程式, 那就是:

$$\eta = K^{\frac{1}{\delta l}}, \quad (1)$$

式中, δ —几何平均电流密度

$$\delta = \sqrt{\delta_{\text{陰}} \cdot \delta_{\text{陽}}}$$

$\delta_{\text{陰}}$ —陰極电流密度, $\delta_{\text{陽}}$ —陽極电流密度;

l —極間距离;

K —依电解液溫度与电解槽形状不同所决定的常数。

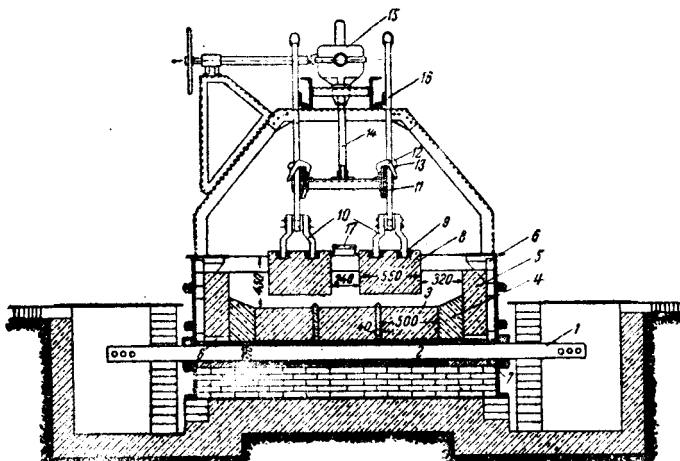


圖 1. 鑄鐵-炭塊槽底的电解槽的構造:

1—鋼制陰極導電杆; 2—生鐵澆鑄部分; 3—炭素底塊; 4—攜固的炭糊;
5—側部炭塊; 6—耐火磚; 7—耐火材料層; 8—陽極; 9—陽極吊挂的生
鐵澆鑄部分; 10—陽極鋼吊挂; 11—陽極母線; 12—銅夾; 13—銅框;
14—升降螺旋; 15—升降機械; 16—陽極吊杆; 17—滑輪(可減輕使用大
鉤操作時的勞力)。

① Г. А. Абрамов, "Металлург", 1936, № 9, стр. 13.

上述这一关系式，对于工业电解情况下所采用的电流密度范围来说，是正确的。但是，适宜的电能消耗及其与适宜的生产能力之间的关系问题，却仍未获得彻底解决。这一问题，对苏联工业来说是有很重大意义的，因为在我们这里，由于轻金属电冶金的发展，关于在电解装备最大利用率条件下求得最低电能消耗的问题，被提到了十分重要的地位。

由于本书中所叙述的一般原则问题主要是以电解制铝为例，因此就有必要对于这一电解过程的基本操作，加以简要地叙述。

制铝所用电解槽的型式^①^②，和电解槽的实际操作一样^②^③，文献中曾有过多次的记载。

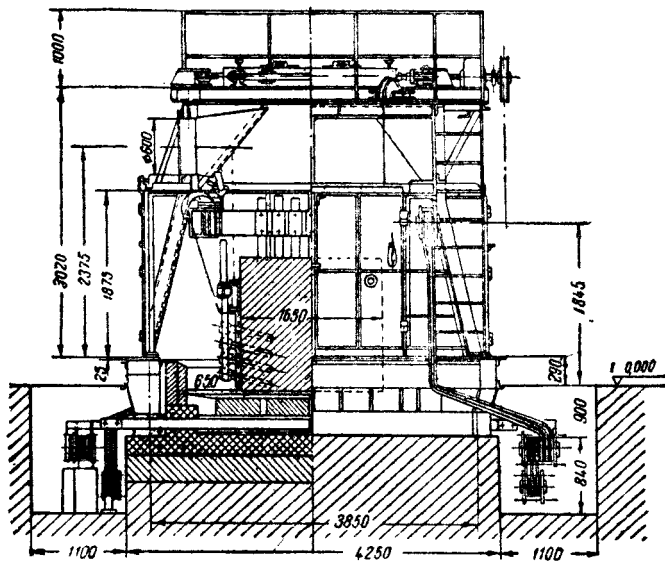


圖 2. 連續自熔陽極鋁电解槽。

① Ю. В. Баймаков, Электролиз в металлургии, 1944, т. II.

② А. И. Вельев, Металлургия легких металлов, 1944.

③ В. М. Гусков, Металлургия алюминия (техникум), ОНТИ, 1941.

現今所采用的多陽極(焙燒陽極)電解槽(圖 1)及單一連續自焙陽極電解槽(圖 2)，其電流強度由 30000 到 60000 安培。安裝電解槽槽底用兩種方法：蘇聯所採用的為焙燒炭塊槽底。此種炭塊系由優質炭素材料所製成，具有很高的強度與很小的孔隙度。炭塊置於一薄層軟炭糊上，各炭塊之間的縫隙也用這種炭糊來填塞。電流藉助鋼制陰極棒導出，而陰極棒則以生鐵鑄於陰極塊中。此外，還有一種搗固槽底的電解槽，這種電解槽多使用於美國和意大利(圖 3)。這種電解槽的槽底系利用炭糊搗固而成。鋼的或銅的陰極導電棒被打在炭糊之中。

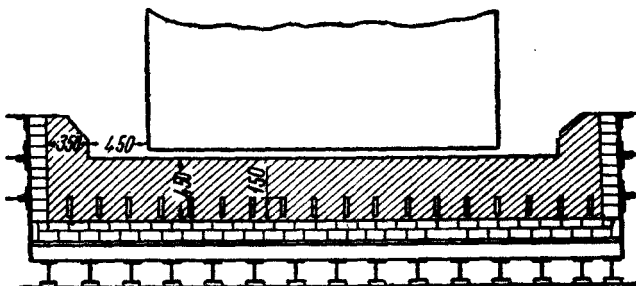


圖 3. 搗固炭糊槽底的電解槽。

鋁電解槽在陽極電流密度由 0.6 到 1.1 安培/厘米²下工作，其總槽電壓為 4.5 至 6 伏特。電解液系含 8~10% Al_2O_3 的熔融冰晶石。電解過程的溫度位於 940~980° 之間。

根據陽極效應之出現來判斷電解液中氧化鋁的降低，陽極效應出現時槽電壓上升到 30~50 伏特。陽極效應使電能消耗增加，使電解槽過熱。因此，應該儘快地將凝固的電解質結殼(結殼上部有一層氧化鋁)打開，向其中加入一批新的氧化鋁，而使之熄滅。

為節省電能，陽極效應的發生不宜頻繁，為此，在陽極效應發生前的幾分鐘內，將氧化鋁加入槽內^①。

^① 譯者注：即所謂非燈亮操作，或預防陽極效應操作。

第一章 电能消耗与热平衡总論

§ 1. 电能消耗

电解时，在电解槽兩極上所測得之电压即為該电流强度下之槽电压。此电压为反电动势、电解液中的电压损失及導体与接触点上的电压损失各数值之总和：

$$U = e_x + i\rho \frac{l}{S} + i(R_1 + R_2 + R_3 + R_4 + R_5 + R_6) + i \frac{R_{\text{效應}} b}{a+b}, \quad (2)$$

式中， U —槽电压，伏特；

e_x —反电动势，伏特；

i —电流强度，安培；

ρ —电解液的比阻，欧姆·厘米；

l —陰陽極間的距离，厘米；

S —陰陽兩極的几何平均断面，厘米²；

$$S = \sqrt{S_{\text{陽}} \cdot S_{\text{陰}}};$$

R_1 —陽極母線上的电阻，欧姆；

R_2 —母線——陽極接触点的电阻；

R_3 —陽極本身的电阻；

R_4 —陰極本身的电阻；

R_5 —陰極与導体間接触点的电阻；

R_6 —陰極母線的电阻；

$R_{\text{效應}}$ —陽極效應發生时的附加电阻；

b —陽極效應的延續時間；

$a+b$ —电解槽操作的总時間，等于 τ 。

由方程式(2)看出，电解液的电阻及 $R_1 \dots R_6$ 等越低，则总槽电压亦越低。因此，必須選擇 ρ 值最小的电解液，必須使兩極間距離尽可能地靠近，使兩極的断面尽可能地增大，使 $R_1 \dots R_6$ 尽可能地減小，并且應該把陽極效应的次数与延續時間加以縮減。

§ 2. 电解槽的电能消耗与热平衡

对任何一个正在工作着的电解槽來說，其电能消耗都可寫成如下形式：

$$iU\tau = [ie_x + i^2\rho \frac{l}{S} + i^2(R_1 + R_2 + R_3 + R_4 + R_5 + R_6)]\tau + i^2R_{\text{效}} \cdot b. \quad (3)$$

如果時間 τ 取作單位時間，則可得出每小時电能消耗的方程式來，此方程式与功率方程式形式相同。当电流通过电解槽的电路时，由于克服电解液、接触点及導体本身的电阻而析出焦耳热。由于所析出的热的地点不同，因此它們的表現亦各异：有的留在电解槽体系之内；有的使电解槽加热；有的則放散于空气之中。比如說，在底塊內以及在陰極棒与底塊接触处的电阻所析出的热，即用于使电解槽加热上；而在陽極母綫与陰極母綫內所析出的热，則放散于空气中。因此，應該把槽上的电阻区分为兩类：發熱电阻与非發熱电阻。例如， R_2 , R_3 , R_4 及 R_5 即屬發熱电阻，而 R_1 与 R_6 則为非發熱电阻。第一类电阻我們称之为內电阻，以 $R_{\text{内}}$ 表示；第二类电阻称为外电阻，以 $R_{\text{外}}$ 表示。

$$iUW = \tau(i e_x + i^2 \rho \frac{l}{S} + i^2 R_{\text{内}} + i^2 R_{\text{外}}) + i^2 R_{\text{效}} \cdot b. \quad (4)$$

由方程式(4)很容易求出电能消耗率公式來，即以电解槽生產能力數值除此方程式各項即得。电解槽生產能力可以下式表之：

$$P = \frac{qin\tau}{1000}, \quad (5)$$

式中， q —电化当量，克/安·时；

n —电流效率。

除 1000 后，电能消耗率 w 之表示式可書之如下(單位為瓦時)：

$$w = \frac{e_x}{q\eta} + \frac{\rho li}{Sq\eta} + \frac{R_{内}i}{q\eta} + \frac{R_{外}i}{q\eta} + \frac{R_{效應} \cdot b \cdot i}{(a+b)q\eta}. \quad (6)$$

進而將如下各值代入方程式(6)中：

$$i = \delta S;$$

$$R_{外} = \frac{r_{外}}{S};$$

$$R_{内} = \frac{r_{内}}{S};$$

$$R_{效應} = \frac{r_{效應}}{S},$$

式中 δ —电流密度，安培/厘米²；

$r_{内}$, $r_{外}$, $r_{效應}$ —电路上各部分的电阻，此电阻系对陰陽兩極的几何平均断面 1 平方米而言者，

即：

$$r_{外} = R_{外} \cdot S, \text{ 欧姆} \cdot \text{厘米}^2;$$

$$r_{内} = R_{内} \cdot S, \text{ 欧姆} \cdot \text{厘米}^2;$$

$$r_{效應} = R_{效應} \cdot S, \text{ 欧姆} \cdot \text{厘米}^2.$$

代入后得：

$$w = \frac{e_x}{q\eta} + \frac{\rho l \delta}{q\eta} + \frac{r_{内} \delta}{q\eta} + \frac{r_{外} \delta}{q\eta} + \frac{r_{效應} \cdot \delta}{(a+b)q\eta}. \quad (7)$$

这样形式的电能消耗率方程式可以帮助我們來相互比較各種不同电流强度的电解槽的工作。

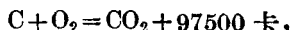
有用电能消耗 $ie_x\tau$ 与热损失为电能收入 $iU\tau$ 所补偿，則电解槽建立起热平衡。热平衡可以如下的一般形式表示出來：

$$\begin{aligned} iU\tau + 4.18Q_0\tau + 4.18Q_1\tau - i^2R_{外}\tau &= \\ = ie_x\tau + 4.18Q_{束}\tau + 4.18Q_{材}\tau + 4.18Q_{指}\tau. \end{aligned} \quad (8)$$

方程式(8)以瓦特-小时表示之。4.18—热量卡数換算为瓦特数之換算系数。

式中， Q_0 —电解时所進行的二次化学反应每小时所析出的热量；例

如,由于析出在炭陽極上的氧燃燒陽極炭:



或由于溶解在电解液中的一部分鋁同陽極產品結合所析出的熱;

Q_1 ——陽極氣體每小時所留下的熱量。例如, 电解鋁時, 陽極氣體在 960° 下在陽極上析出, 而由結殼下逸出則在 400° 。

因此, 它所留下的熱量 Q_1 則為:

$$Q_1 = n \cdot M \cdot C_p \cdot (960 - 400) \text{ 卡},$$

式中 nM ——每小時所析出氣體的分子體積數;

C_p ——氣體的分子熱容量;

$Q_{束}$ ——每小時留在體系內的束縛能的熱當量;

$Q_{耗}$ ——消耗於加熱每小時內加入電解槽中的材料的熱量, 包括它們的潛熱及熔化熱;

$Q_{損}$ ——每小時電解槽所損失的熱量。

由方程式(8)看出, $i^* R_{外}$ 不在熱平衡之內, 因此, 這一外部能量損失的數值應限於最小。

照推演後的方程式(4)那樣, 將方程式(8)變為相當於析出一公斤金屬所吸收與放出的能量的形式:

$$\frac{U}{q\eta} + \frac{4.18Q_0}{iq\eta} + \frac{4.18Q_1}{iq\eta} - \frac{ir_{st}}{q\eta} = \frac{e_x}{q\eta} + \frac{4.18Q_{束}}{iq\eta} + \frac{4.18Q_{耗}}{iq\eta} + \frac{4.18Q_{損}}{iq\eta}. \quad (9)$$

將如下一些換算數值代入方程式(9)中。熱量或相當於電解時所吸收與放出的能量(例如 $\frac{4.18Q_{耗}}{iq\eta}$)皆以對 1 公斤金屬來計算。假設, 在析出金屬為 q 克時(相當於 1 安-時), 其消耗於熔化與加熱材料所需之熱量為 $K_{耗}$ 瓦-時。那末, 當 1 小時內有 i 安培電流通過時, 則加熱與熔化所吸收之能量即為:

$$ik_{耗} = 4.18Q_{耗}.$$

類似這樣, 當析出 q 克金屬時, 由於在陽極上進行化學反應所析出之熱

量为 k_0 瓦·时，阳极气体所遗留下的热量为 k_1 瓦·时，以及以束缚能形式所吸收的热量为 $k_{\text{束}}$ 瓦·时，因而可以写成：

$$ik_0 = 4.18Q_0;$$

$$ik_1 = 4.18Q_1;$$

$$ik_{\text{束}} = 4.18Q_{\text{束}}.$$

损失于空间的热量 $4.18Q_{\text{损}}$ ，我们以 cS 之乘积来表示，其中 c 表示相当于阴阳两极几何平均断面每 1 平方厘米所损失于空间的热量（以瓦·时表示）。乘积 $c \cdot S = 4.18Q_{\text{损}}$ 。

以乘积 $\delta S = i$ 来表示电流强度，其中之 δ 系平均电流密度：

$$\delta = 1 / \delta_{\text{阳}} \cdot \delta_{\text{阴}}.$$

将上面这些换算数值代入方程式(9)后，即得：

$$\frac{U}{q\eta} + \frac{k_0}{q\eta} + \frac{k_1}{q\eta} - \frac{\delta r_{\text{阳}}}{q\eta} = \frac{e_2}{q\eta} + \frac{k_{\text{束}}}{q\eta} + \frac{k_{\text{阳}}}{q\eta} + \frac{c}{\delta q\eta}. \quad (10)$$

以(7)式代 $\frac{U}{q\eta}$ 并化简，得：

$$\rho l \delta + r_{\text{内}} \delta + \frac{r_{\text{效应}} \cdot b}{a+b} \delta = \frac{c}{\delta} + k_{\text{束}} + k_{\text{阳}} - k_0 - k_1. \quad (11)$$

将方程式(7)加以变换，而将方程式(11)代入，得：

$$w = \frac{1}{q\eta} (e_2 + r_{\text{内}} \delta + \frac{c}{\delta} + k_{\text{束}} + k_{\text{阳}} - k_0 - k_1). \quad (12)$$

方程式(11)及(12)很重要，因为可以根据它们来分析电解槽的工作。由方程式(11)看出，若电解槽建立起热平衡，则热量消耗即为电解液、电极及阳极效应等的发热电阻的焦耳热所补偿。

随 ρl , $r_{\text{内}}$, $\frac{r_{\text{效应}} \cdot b}{a+b}$, c 等数值的改变，电流密度亦应有所变化。如果将方程式(11)中的 $k_{\text{束}} + k_{\text{阳}} - k_0 - k_1$ 之和忽而不计，则可求出电流密度数值与热损失及电阻数值之间的关系：

$$\delta = \sqrt{\frac{c}{\rho l + r_{\text{内}} + \frac{r_{\text{效应}} \cdot b}{(a+b)}}}. \quad (13)$$

分析方程式(12)可以看出，电能消耗率(每公斤金属的耗时数)与电流效率、热损失及电流密度有关。方程式(12)可改写为：

$$w = \frac{1}{q \cdot K \delta l} \left(e_x + r_{\text{外}} \delta + \frac{c}{\delta} + k_{\text{束}} + k_{\text{耗}} - k_0 - k_1 \right). \quad (12a)$$

由此可见，计算电解槽操作基本参数的途径应该是如下这样。根据热损失系数 c 及电阻数值之不同来确定电流密度数值。极间距离数值 l 取足以保障最高电流效率的最小值。根据电流密度及极间距离数值之不同，按阿布拉莫夫的方程式(1)来计算电流效率，而后按方程式(12)来计算电能消耗率。

在既定的 ρ , e , $r_{\text{内}}$ 以及 $\frac{r_{\text{效应}}}{a+b}$ 条件下(某种电解槽都有其固定数值)，改变 l 及 δ 数值，即可求出电解的最好操作条件来。

由方程式(11)—(13)看出，为了达到最低的电能消耗，应该选取最小的 c , $r_{\text{内}}$, $r_{\text{外}}$, $\frac{r_{\text{效应}}}{a+b}$ 及最大的 η 数值。

当电解液的比阻 ρ 、两极电阻、导体内阻 $r_{\text{内}}$ 及阳极效应 $\frac{r_{\text{效应}}}{a+b}$ 为最低，而电流效率为最大时，则可以使电解槽在最低电能消耗下达到最高生产率。这一点在设计、安装及管理电解槽时应该努力争取。

现在，我们把关于电能消耗一般条件的选择问题结束，而专就决定电能消耗的最重要的三点来加以讨论，那就是：电流效率、电解中的反电动势及电阻。

§ 3. 电流效率

电流效率数值决定着电解槽的生产能力，并对电能消耗有显著的影响。

在实际当中，电流效率的变动范围甚广(表 2)。

熔融盐电解的电流效率与电解条件的关系，在前一本书中已经作